

УДК 577.322

ФЛУОРЕСЦЕНЦІЯ И ДИНАМИКА СТРУКТУРНОГО ОКРУЖЕНИЯ ФЛУОРОФОРА TRP125 В ЦИТОКІНЕ ЕМАР II

М.А. Кордыш, А.И. Корнелюк

Інститут молекулярної біології і генетики НАН України
03143, Київ, ул. Академика Зabolотного, 150

Поступила в редакцію 16 листопада 2003

Цитокін ЕМАР II - мультифункціональний белок, обладаючий як цитокіновою, так і тРНК-связываючою активностями. Методом флуоресцентної спектроскопії изучена внутримолекулярна динаміка цитокіна ЕМАР II в растворі. Спектр триптофанової флуоресценции цитокіна ЕМАР II обусловлен емісією остатка Trp125 в белку. На основі данних флуоресцентної спектроскопії і комп'ютерного моделювання охарактеризовано мікроокружение остатка триптофана і степень доступності поверхні Trp125 молекулам растворителя, яка становить близько 10%. Быстрая конформаційна подвижність в цитокіні ЕМАР II обнаружена з допомогою тушення флуоресценции флуорофора Trp125 нейтральним тушителем акриламідом вследствие флуктуацій структури белка в наносекундному временном інтервалі.

КЛЮЧЕВІ СЛОВА: цитокін ЕМАР II, динаміка белков, флуоресценция

Цитокін ЕМАР II (*endothelial monocyte-activating polypeptide II*) являється мультифункціональним поліпептидом, обладаючим як цитокіновою, так і тРНК-связываючою активностями. Цей новий цитокін вперше обнаружен як фактор, що підвищує проактуляціонну активність ендотеліальних клітин людини [1]. У моноцитах і лейкоцитах ЕМАР II викликає позитивний хемотаксис. ЕМАР II обладає антиопухолевою активністю [2, 3, 4] і здатний викликати апоптоз в культурі клітинок [5]. Предшественником ЕМАР II цитокіна є белок *proEMAP II*, ідентичний поліпептиду p43 - компоненту високомолекулярного комплексу аміноацил-tРНК синтетаз (APCaz) у висших еукаріот [6]. Цей комплекс складається з дев'яти APCaz (GluPC, ProPC, IlePC, LeuPC, MetPC, GlnPC, ArgPC, LysPC і AspPC), які асоціюють з трема допоміжними белками (p43, p38 і p18) в складний мультибелковий асоціат [7]. В цьому комплексі p43 бере участь в белок-белковому взаємодействії з p38, ArgPC і GlnPC. Наличие асоціації *proEMAP II* з різними APCazами свідчить про те, що він бере участь в процесі белкового синтезу.

Цитокін ЕМАР II обнаружує високу ступінь гомології амінокислотної послідовності (52,7%) з некatalітическим C-модулем тирозил-tРНК синтетази висших еукаріот [8]. Установлено, що ізолюваний C-модуль тирозил-tРНК синтетази також проявляє ЕМАР II-подібну цитокінову активність: індукує рост хемотаксиса моноцитів і підвищує рівень експресії тканевого фактора ендотеліальних клітин людини [9].

Однак основна функція ЕМАР II-подібних доменів в белку p43 і тирозил-tРНК синтетазе полягає в специфічному свяжуванні tРНК, причому цей процес визначається пространственою структурою tРНК, її стабільною L-формою [10, 11]. Процес формування комплексу tРНК і ЕМАР II супроводжується взаємною конформаційною адаптацією, однак природа цих конформаційних змін залишається практично неізученою. Імовірно, що реалізація двох різних функцій ЕМАР II (tРНК-связываючої і цитокінової) відбувається в різних конформаціях белка, однак дана гіпотеза не підтверджена експериментально.

В наступне время одним із найменш чутливих і інформативних методів дослідження конформаційних змін белків в растворі є флуоресцентна спектроскопія [12, 13]. Слід зазначити, що цитокін ЕМАР II є однотріптофановим белком. ЕМАР II містить остаток Trp125, який представляє собою природний флуоресцентний зонд в структурі цього белка [14]. Відомо, що флуоресценція триптофанових остатків в белках дуже чутлива до структурних змін, які відбуваються в локальному оточенні цих флуорофорів [12]. Такі зміни можуть відображатися в параметрах спектрів флуоресценции і нести інформацію про конформаційну динаміку белка в растворі. В зв'язку з цим, в даній роботі проведено дослідження структурного оточення Trp125 в цитокіні ЕМАР II, залежності Trp125 в белковій глобулі і динаміки мікроокруження флуорофора.

МАТЕРИАЛЫ И МЕТОДЫ

Объектом исследования являлся белок цитокин EMAP II человека с молекулярным весом 19 кДа, полученный нами ранее согласно [14]. Данный белок имеет следующую первичную структуру:

1	SKPIDVSRLD	LRIGCIIITAR	KHPDADSLYV	EEVDVGEIAP	RTVVSGLVNH	VPLEQMQRNM
61	VI LLCNLKPA	KMRGVLSQAM	VMCASSPEKI	EILAPPNGSV	PGDRI TFDAF	PG EPDK ELNP
121	KKKIWEQIQP	DLHTNDECVA	TYKGVPFEVK	GKGVCRAQTM	SNSGIK	

Белок был экспрессирован в клетках *E.coli* и очищен до гомогенного состояния (не менее 95%) металхелатирующей хроматографией на Ni-NTA агарозе согласно [14]. Концентрацию белка определяли спектрофотометрически по поглощению на длине волны 280 нм с учетом длины оптического пути и коэффициента экстинкции белка ($E_{280}^M=8490 \text{ M}^{-1}\text{cm}^{-1}$). Спектры поглощения исследуемого белка записывали на двухканальном спектрофотометре "Specord UV VIS" (Германия).

Флуоресцентные измерения проводили на спектрофлуориметре "Model 850" ("Hitachi", Япония). Спектральная ширина щелей монохроматоров возбуждения и регистрации составляла 5 нм. Длина волны возбуждающего света составляла 296 нм. Точность определения длины волны $\pm 0,1$ нм. Спектры флуоресценции записывали в интервале длин волн 300 - 400 нм со скоростью сканирования 30 - 60 нм/мин. Измерение спектров флуоресценции EMAP II проводили в буфере 20 мМ трис-HCl, 50 мМ NaCl, 10 мМ MgCl₂, pH 7,5, с терmostатированием при температуре 25°C с точностью $\pm 0,2$ °C.

Опыты по тушению флуоресценции EMAP II проводили путем титрования белка CsCl или акриламидом, записывая спектры флуоресценции EMAP II в присутствии тушителей и измеряя интенсивности белковой флуоресценции в максимуме спектра излучения. Измеренные значения интенсивностей флуоресценции белка корректировали на коэффициенты разбавления и экранирования [15] добавляемых в раствор реагентов. Эффективность тушения характеризовали отношением максимального изменения интенсивности флуоресценции $\Delta I_H = I_0 - I_H$ к исходной интенсивности излучения белка I_0 . Полученные результаты по тушению флуоресценции белка были представлены в координатах Штерна-Фольмера [12].

Визуализацию и компьютерный анализ микрокружения остатка Trp125 в белке проводили с помощью программы SwissPDB-Viewer 3.7(b2), используя данные рентгеноструктурного анализа для белка EMAP II [16, 17]. Для изучения окружения флуорофора Trp125 была выбрана кристаллографическая форма EMAP II 1eij(A), в координатном файле которой были удалены молекулы воды. Расчет степени доступности поверхности остатка Trp125 для молекул растворителя проводили с помощью функции Select/Accessible aa... Расстояния до соседних остатков определяли с помощью функции Select/Neighbors of selected aa... - от 1 Å до 12 Å с шагом 1 Å.

РЕЗУЛЬТАТЫ И ОБСУЖДЕНИЕ

Спектр собственной флуоресценции EMAP II при длине волны возбуждения 296 нм (условие возбуждения только триптофановой флуоресценции белка) представлен на рис. 1. Поскольку в структуре EMAP II содержится только 1 остаток Trp125, флуоресценция белка обусловлена эмиссией этого флуорофора. Измеренное положение максимума спектра флуоресценции EMAP II составляет около 335 нм, а квантовый выход флуоресценции - 0,07, т.е. структурное состояние флуорофора Trp125 в исследуемом белке соответствует промежуточному состоянию между структурными классами I и II триптофанилов в белках согласно модели 3-х классов Бурштейна [18, 19].

Таким образом, данные флуоресцентной спектроскопии свидетельствуют о том, что остаток Trp125 не является полностью экранированным в белковой глобуле и частично экспонирован на поверхности белковой макромолекулы.

Нами проведен компьютерный анализ доступности Trp125 в кристаллографической структуре EMAP II (форма 1eij(A)), в координатном файле которой были удалены молекулы воды. С использованием программы SwissPDB-Viewer 3.7(b2) проведен расчет степени доступности поверхности остатка Trp125 к молекулам растворителя. Согласно полученным данным степень доступности остатка Trp125 составила около $10 \pm 1\%$, что согласуется с экспериментальными данными о состоянии Trp125 в белковой глобуле, полученными на основании анализа данных флуоресценции EMAP II.

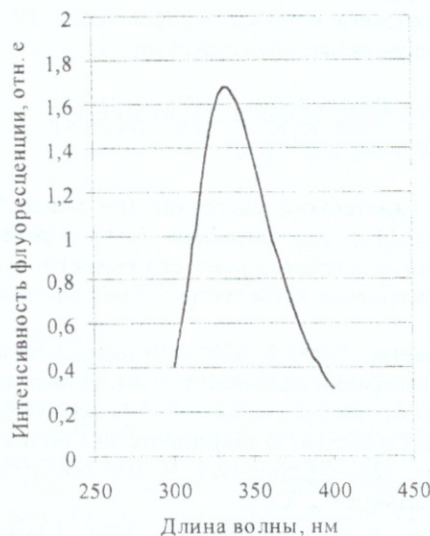


Рис. 1. Спектр флуоресценции EMAP II при длине волны возбуждения 296 нм.

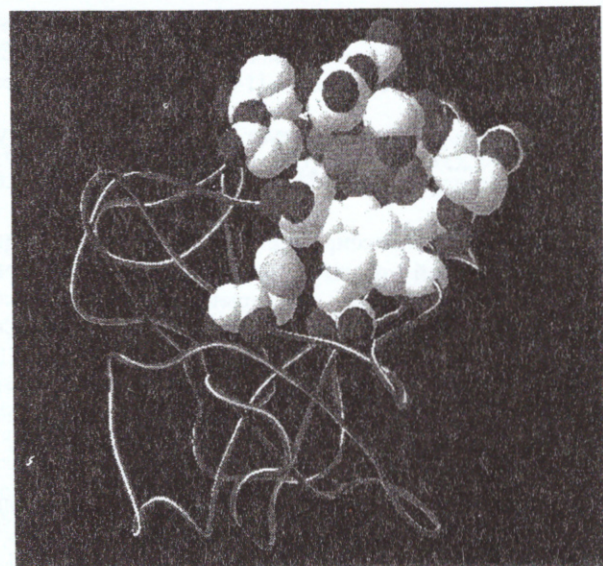


Рис. 2. Микроокружение остатка Trp125 в структуре EMAP II.

Визуализация окружения остатка Trp125 в EMAP II была проведена в сфере радиусом 5 Å, в центре которой находится Trp125 (рис. 2). В этой области локализованы 17 аминокислотных остатков, среди которых находятся как гидрофобные (Leu9, Leu64, Leu67, Met80, Met82, Leu118, Ile124, Trp125, Ile128, Pro130, Leu132, Ile165,) так и гидрофильные (Lys123, Glu126, Gln127, Gln129, Lys166) остатки. Определены расстояния от остатка Trp125 к ближайшим аминокислотным остаткам, природа которых может существенно влиять на характеристики флуоресценции белка [20]. Полученные данные представлены в таблице 1. Следует отметить среди ближайших к Trp125 наличие пяти заряженных остатков (Lys123, Lys166, Glu126, Gln127, Gln129), боковые цепи которых могут тушить флуоресценцию Trp125 путем передачи протона возбужденного состояния (Lys123, Lys166) или передачи электрона возбужденного состояния (Glu126, Gln127, Gln129) [21]. Анализируя расстояния, на которых находятся тушащие группы от Trp125 (таблица 1), можно сделать вывод о том, что основной вклад в тушение флуоресценции Trp125, по-видимому, вносят остатки Glu126, Gln127, Gln129, находящиеся на расстоянии 3,5; 7,26 и 4,93 Å от остатка триптофана, соответственно.

С целью изучения доступности остатка Trp125 в глобуле белка EMAP II нами проведены эксперименты по тушению собственной флуоресценции EMAP II внешними тушителями - нейтральным тушителем акриламидом и катионами Cs^+ . Определены максимальные изменения интенсивности излучения при тушении флуоресценции EMAP II акриламидом и Cs^+ , которые равны 54% и 11%, соответственно.

Полученные результаты по тушению флуоресценции EMAP II этими тушителями в координатах Штерна-Фольмера представлены на рис. 3. В случае тушения флуоресценции EMAP II катионами Cs^+ максимальное тушение составило около 11%. Известно, что заряженные ионы Cs^+ плохо проникают внутрь неполярного ядра белка, поэтому этот тушитель тушит флуоресценцию только экспонированных остатков триптофана. Величина тушения флуоресценции (11%) подтверждает частичную экспонированность остатка триптофана в белковой глобуле, что хорошо согласуется с данными по доступности Trp125, полученными с помощью методов компьютерного анализа для кристаллографической структуры EMAP II ($10 \pm 1\%$).

Для нейтрального тушителя акриламида величина тушения флуоресценции Trp125 в EMAP II существенно больше и составляет около 54%. Известно, что акриламид тушит предпочтительно экспонированные остатки триптофана, но вместе с этим может проникать внутрь белковой матрицы [12,18,19]. Линейный характер графика Штерна-Фольмера для тушения акриламидом (рис. 3) согласуется с динамическим характером тушения триптофановой флуоресценции [12], которое определяется частотой столкновений между флуорофором и тушителем. В статической структуре белка аминокислотные остатки плотно упакованы, однако свободное пространство для проникновения молекул типа акриламида внутрь

белка может появляться в результате динамических флюктуаций конформации белка и появления локальных полостей.

Аминокислота, к которой измерялось расстояние от Trp144	Атом в аминокислотном остатке, к которому измерялось расстояние от C ^{δ1} -атома Trp125	Расстояние, Å
Leu9	C ^γ	5,84
Leu64	C ^γ	5,43
Leu67	C ^γ	5,75
Met80	S ^δ	5,75
Met82	S ^δ	6,42
Leu118	C ^γ	7,29
Lys123	C ^δ	10,75
Ile124	C ^{γ1}	8,97
Glu126	C ^δ	3,50
Gln127	C ^δ	7,26
Ile128	C ^{γ1}	8,97
Gln129	C ^δ	4,93
Pro130	C ^β	7,26
Leu132	C ^γ	9,22
Ile165	C ^{γ1}	10,70
Lys166	C ^δ	8,79

Таблица 1. Расстояние от Trp125 к ближайшим аминокислотным остаткам.

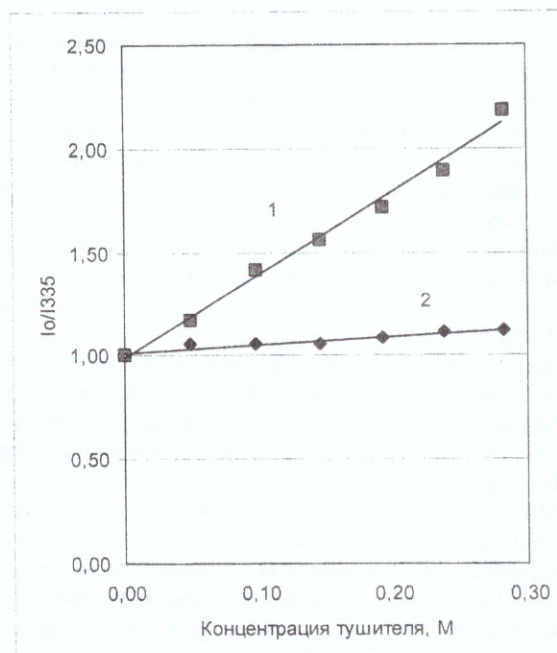


Рис. 3. Тушение флуоресценции ЕМАР II нейтральным тушителем акриламидом (1) и полярным тушителем Cs⁺ (2) в координатах Штерна-Фольмера. Концентрация ЕМАР II в растворе - $1,5 \cdot 10^{-5}$ М, температура 25⁰С.

Таким образом, для объяснения высокой эффективности тушения флуоресценции Trp125 акриламидом в глобуле белка ЕМАР II следует допустить наличие диффузии тушителя внутрь белковой матрицы, которая происходит вследствие конформационной подвижности белка - флюктуаций его пространственной структуры в наносекундном временном диапазоне. Быстрая конформационная подвижность приводит к формированию локальных полостей в структуре белка, что обеспечивает диффузию нейтральных молекул акриламида внутрь белковой глобулы и значительно более высокую эффективность тушения флуоресценции Trp125 в ЕМАР II.

ВЫВОДЫ

На основе анализа данных собственной флуоресценции белка ЕМАР II, тушения его флуоресценции внешними тушителями, а также результатов компьютерного анализа кристаллографической структуры, можно сделать вывод о том, что флуорофор Trp125 в значительной степени экранирован в структуре исследуемого цитокина. Обнаружено, что доступность Trp125 в белке может возрастать вследствие наличия быстрой конформационной подвижности белковой матрицы в наносекундном временном интервале. Таким образом, полученные результаты свидетельствуют о существовании значительной конформационной подвижности белка ЕМАР II в растворе, а Trp125 может использоваться как природный флуоресцентный зонд в структуре белка для мониторинга локальных конформационных изменений. Такие конформационные изменения могут иметь существенное значение при взаимной конформационной адаптации белка и тРНК в процессе образования их специфического комплекса.

Благодарность. Авторы выражают благодарность А.Л.Дубровскому за выделение препарата ЕМАР II. Работа выполнена при финансовой поддержке гранта № 5.07/200 Государственного фонда фундаментальных исследований Министерства образования и науки Украины.

СПИСОК ЛИТЕРАТУРЫ

1. Kao J, Ryan J, Brett G, Chen J, Shen H, Fan Y.G., Godman G, Familietti P.C., Wang F, Pan Y.C., et al. Endothelia-monocyte activating polypeptide II. // J. Biol. Chem. - 1992. - Vol.267, N28. - P. 20239-20247.
2. Kao J, Houck K, Fan Y, Haehnel I, Libutti S.K., Kayton M.L., Grikscheit T, Chabot J, Nowyngrod R, Greenberg S, et al. Characterization of a novel tumor-derived cytokine Endothelia-monocyte activating polypeptide II. // J. Biol. Chem. - 1994. - Vol.269. - P. 25106-25119.
3. Schwarz MA, Kandel J, Brett J, Li J, Hayward J, Schwarz RE, Chappay O, Wautier JL, Chabot J, Lo Gerfo P, Stern D. Endothelia-monocyte activating polypeptide II, a novel antitumor cytokine that suppresses primary and metastatic tumor growth and induces apoptosis in growing endothelial cell. // J. Exp. Med. - 1999. Vol. 190, N3. - P.4066-4069.
4. Marvin M.R., Libutti S.K., Kayton M., Kao J., Hayward J., Grikscheit T., Fan Y., Brett J., Weinberg A., Nowyngrod R., LoGerfo P., Feind C., Hansen K.S., Schwartz M., Stern D., Chabot J. A novel tumor-derived mediator that sensitizes cytokine-resistant tumors to tumors necrosis factor. // J. Surg. Res. - 1996. Vol.24. - P.248-255.
5. Berger A.C., Tang G., Alexander H.R., Libutti S.K. Endothelia-monocyte activating polypeptide II induces endothelial cell apoptosis and may inhibit tumor angiogenesis // Microvasc. Res. -2000. Vol.60, N1. - P.70-80.
6. Shalak V., Kaminska M., Mitnaht-Kraus R., Vandenabeele P., Clauss M., Mirande M. The EMAP II cytokine is released from the mammalian multysynthetase complex after cleavage of its p43/proEMAP II component // J. Biolog. Chem. - 2001. - Vol.276, N26. - P. 23769-23776.
7. Mirande M. Aminoacyl-tRNA synthetase family from prokaryotes and eukaryotes: structural domains and their implications // Prog. Nucleic Acid Res. Mol. Biol. - 1991. - Vol.40. - P.95-142.
8. Леванец О.В., Найденов В.Г., Одынец К.А., Вудмаска М.И., Мацку Г.Х., Корнелюк А.И. Гомология С-концевого некаталитического домена тирозил-тРНК синтетазы млекопитающих с цитокином EMAP II и некаталитическими доменами метионил- и фенилаланил-тРНК синтетаз // Биополимеры и клетка. - 1997. - Т.13, N6. - С. 474-478.
9. Kornelyuk A, Maarten P., Dubrovsky A., Murray J. Cytokine activity of non-catalytic EMAP II-like domain of mammalian tyrosyl-tRNA synthetase // Biopolimery i kleitka. - 1999. - Vol.15, N2. - P.168-172.
10. Chihade V., Schimmel P. Assembly of a catalytic unit for RNA microhelix aminoacylation using nonspecific RNA binding domains // Proc. Natl. Acad. Sci. USA. - 1999. - Vol. 96. - P.12316-12321.
11. Wang C.C., Schimmel P. Species barrier to RNA recognition overcome with nonspecific RNA binding domains // J. Biol. Chem. - 1999. - Vol.274. - P. 16508-16512.
12. Lakowicz J.R. Principles of Fluorescent Spectroscopy. - New York: Plenum Press, 1999.
13. Ladokhin A.S. Fluorescence spectroscopy in peptide and protein analysis // Encyclopedia of Analytical Chemistry - Chichester: John Wiley & Sons Ltd, 2000.
14. Дубровский А. Л., Браун Дж., Корнелюк А. И., Мюррей К., Мацку Г. Х.. Бактериальная экспрессия полноразмерных и усеченных форм цитокина EMAP II и цитокинподобного домена тирозил-тРНК синтетазы млекопитающих // Биополимеры и клетка. - 2000. - Т.16, N3 - С. 229-235.
15. Ehrenberg M., Cronvall E., Rigler R. Fluorescence of proteins interacting with nucleic acids: Correction for light absorbtion // FEBS Lett. - 1971. - Vol. 18, N2. - P. 199-203.
16. Renault L., Kerjan P., Pasqualato S., Menetrey J., Robinson J. C., Kawaguchi S., Vassylyev D.G., Yokoyama S., Mirande M., Cherfils J. Structure of the EMAP II domain of human aminoacyl-tRNA synthetase complex reveals evolutionary dimer mimicry // EMBO J. - 2001. - Vol. 20, N3. - P. 570-578.
17. Kim Y., Shin J., Li R., Cheong C., Kim K., Kim S. A novel anti-tumor cytokine contains a RNA-binding motif present in aminoacyl-tRNA synthetases // J. Biol. Chem.-2000.-275.-P.27062-27068.
18. Бурштейн Э.А. Собственная люминесценция белка. Природа и применение // Итоги науки и техники. Биофизика . - 1977. - Т.7. - С.189-195.
19. Burstein E.A., Vedenkina N.S., Ivkova M.N. Fluorescence and the location of tryptophan residues in protein molecules // Photochem. Photobiol. - 1973. - V.18, №2 - P.263-279.
20. Кантор Ч., Шиммел П. Биофизическая химия: В 3-х т. Пер. с англ. Москва: Мир, 1984. - Т.1 - 336 с.
21. Chen Y., Barkley M.D. Toward understanding tryptophan fluorescence in proteins // Biochemistry // 1998. - Vol.37, N28. - P. 9976 - 9982.